

**1/23**

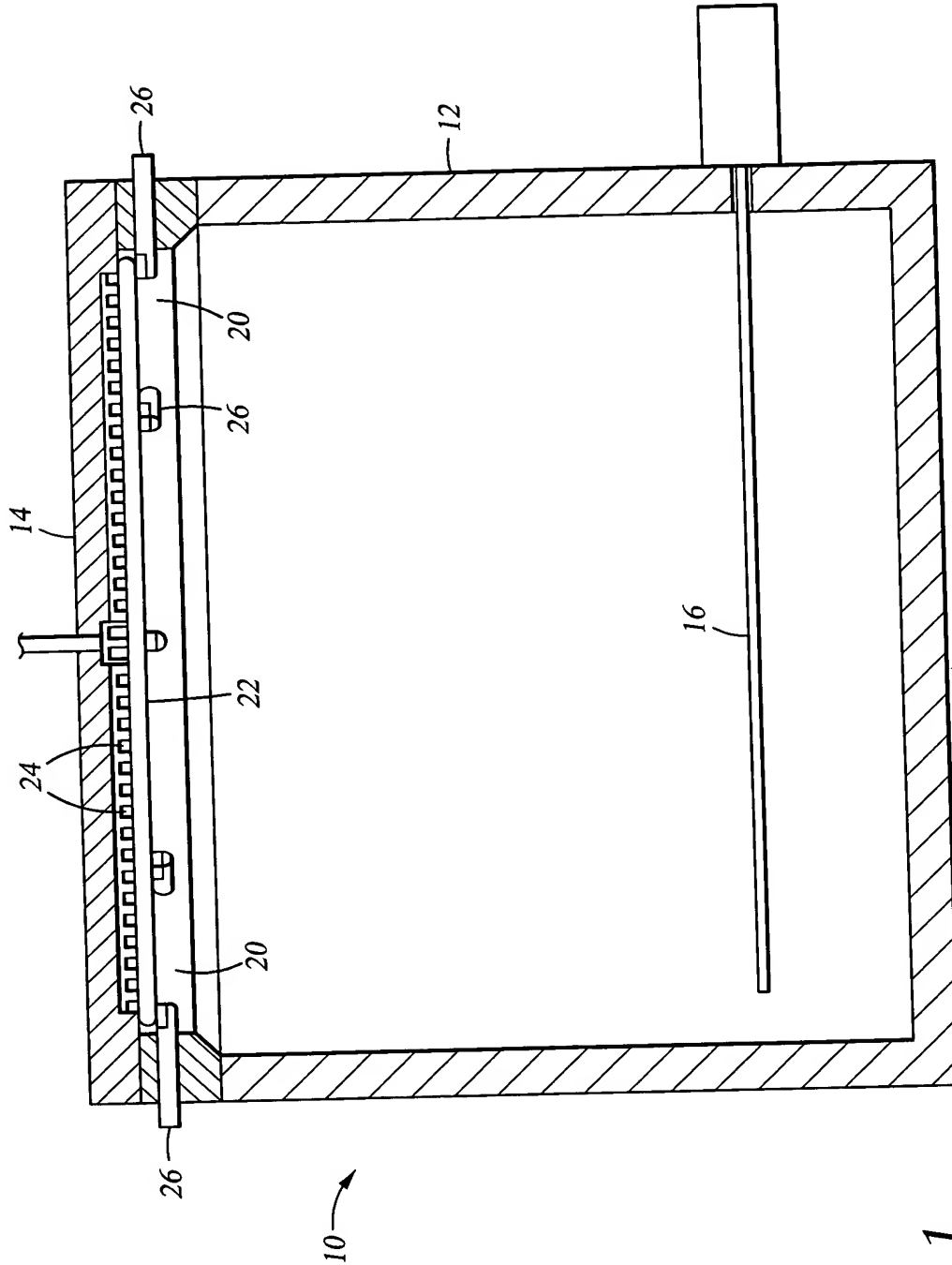
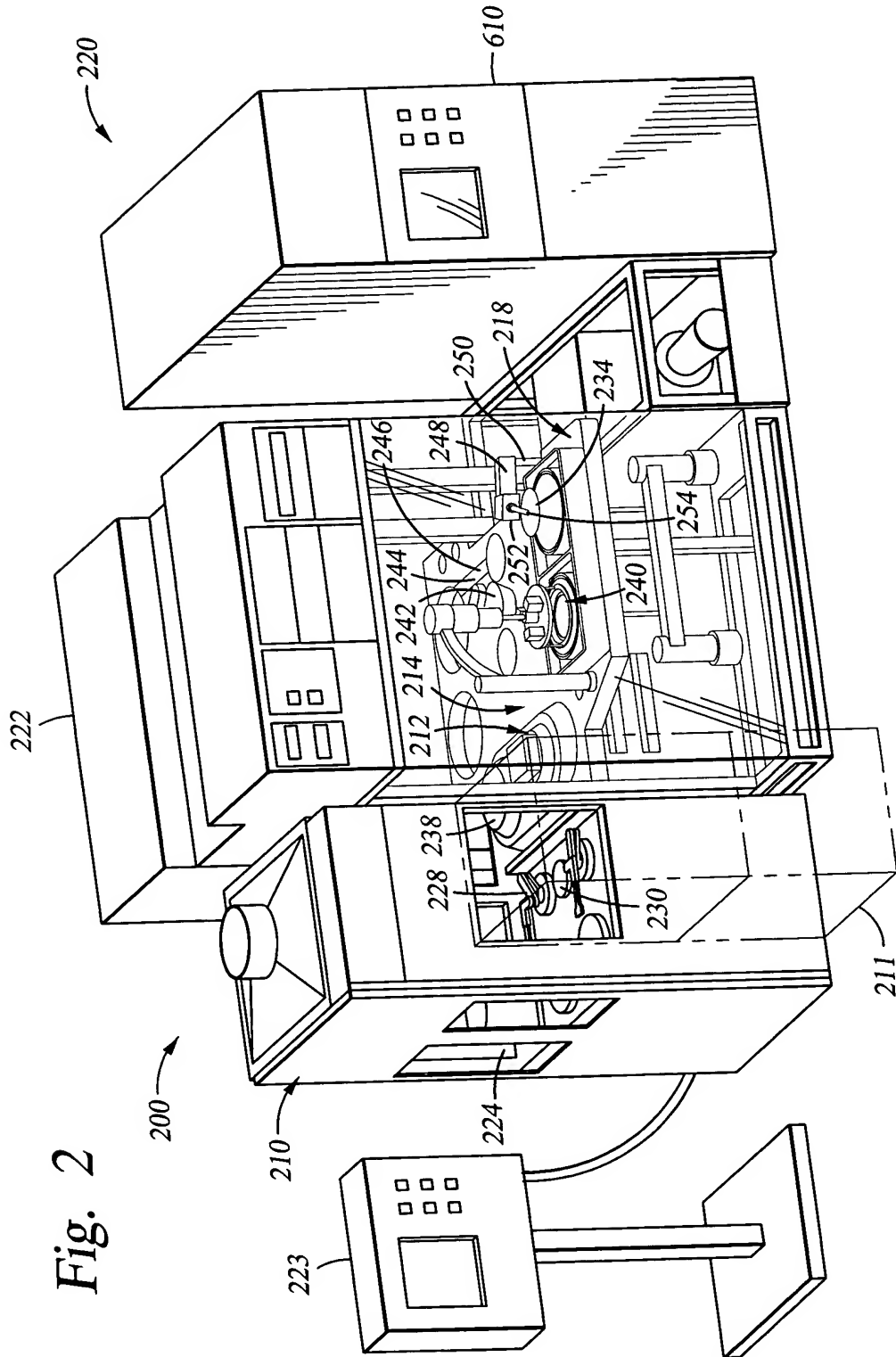


Fig. 1  
(PRIOR ART)

2/23



3/23

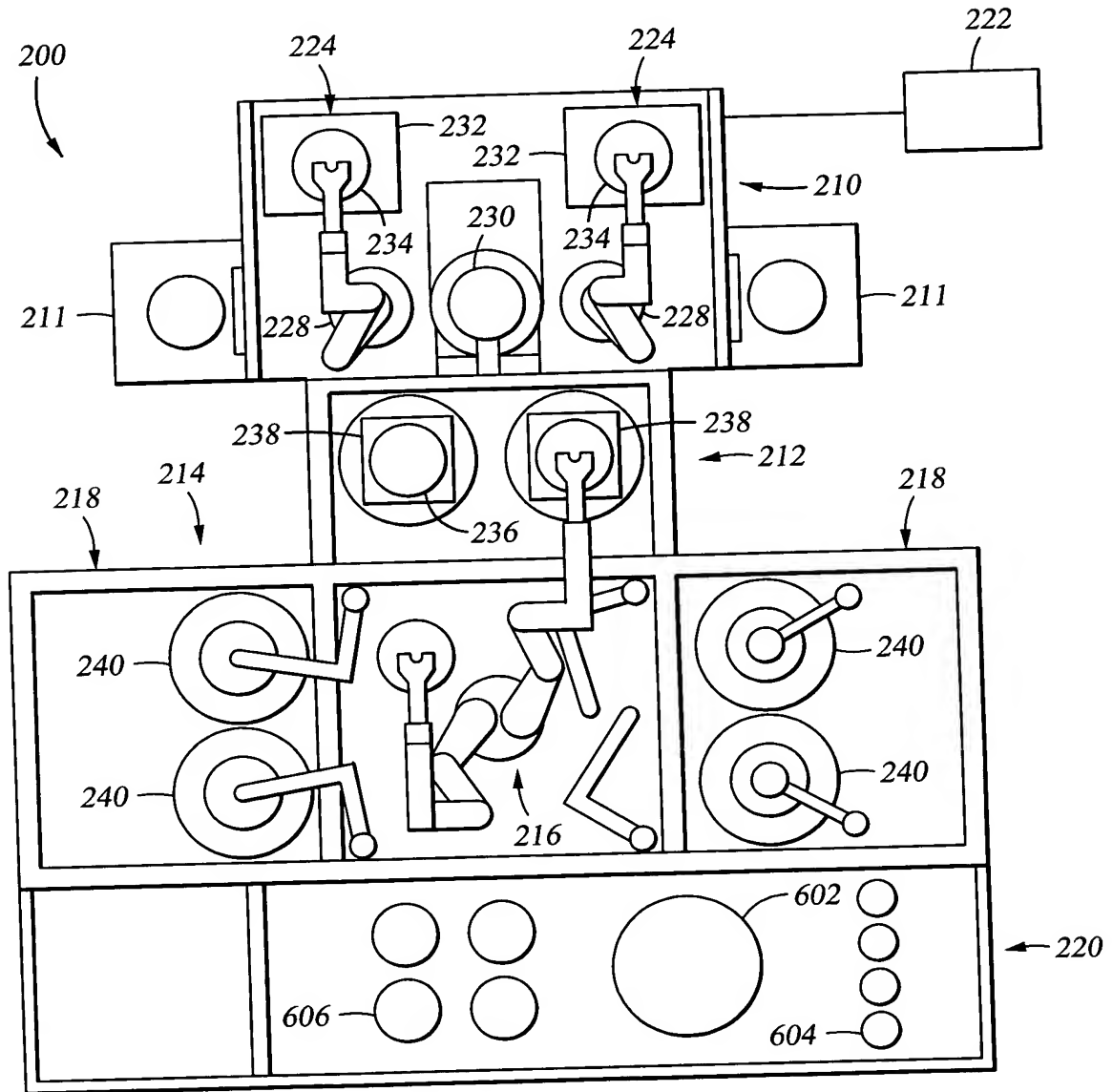
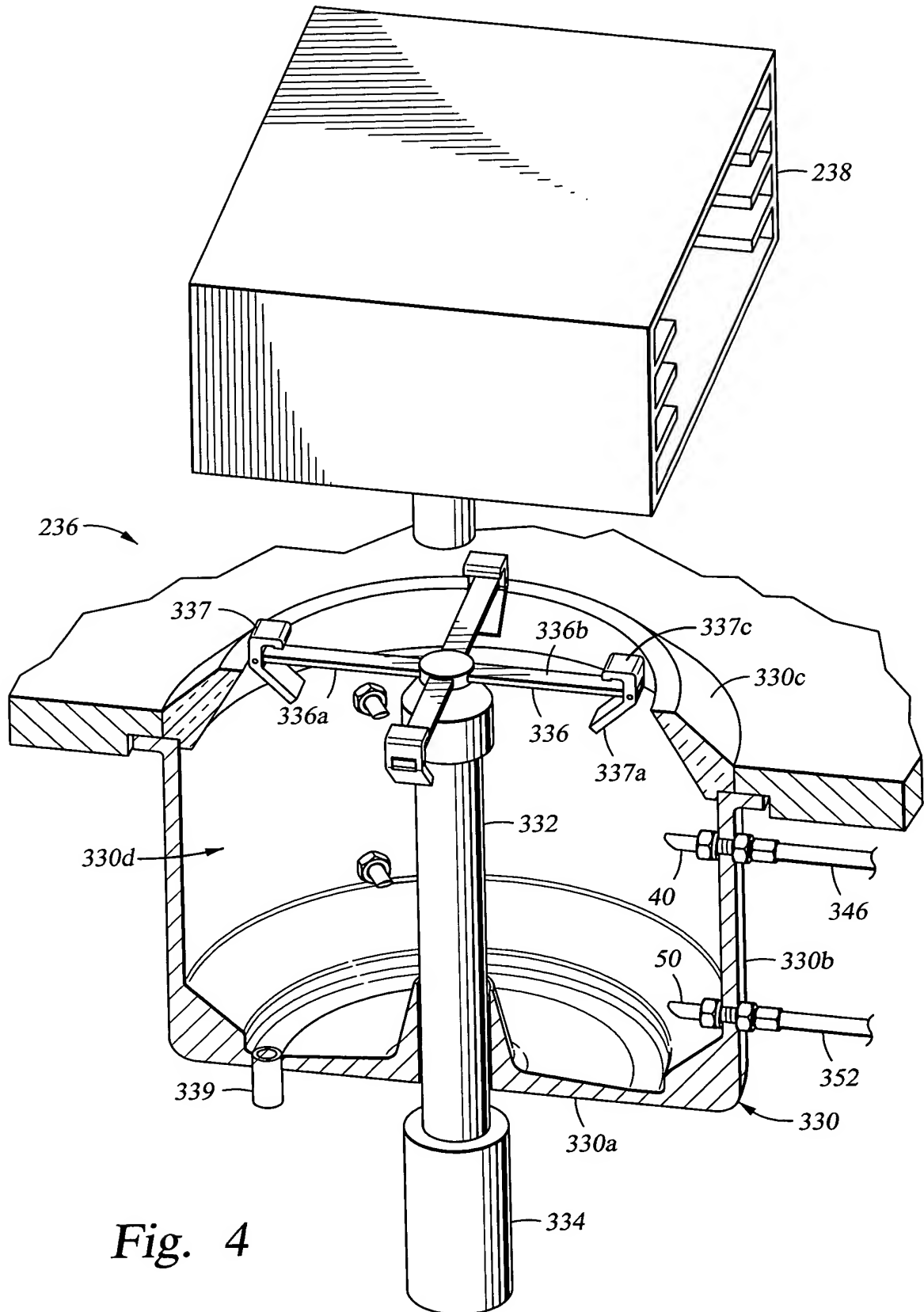


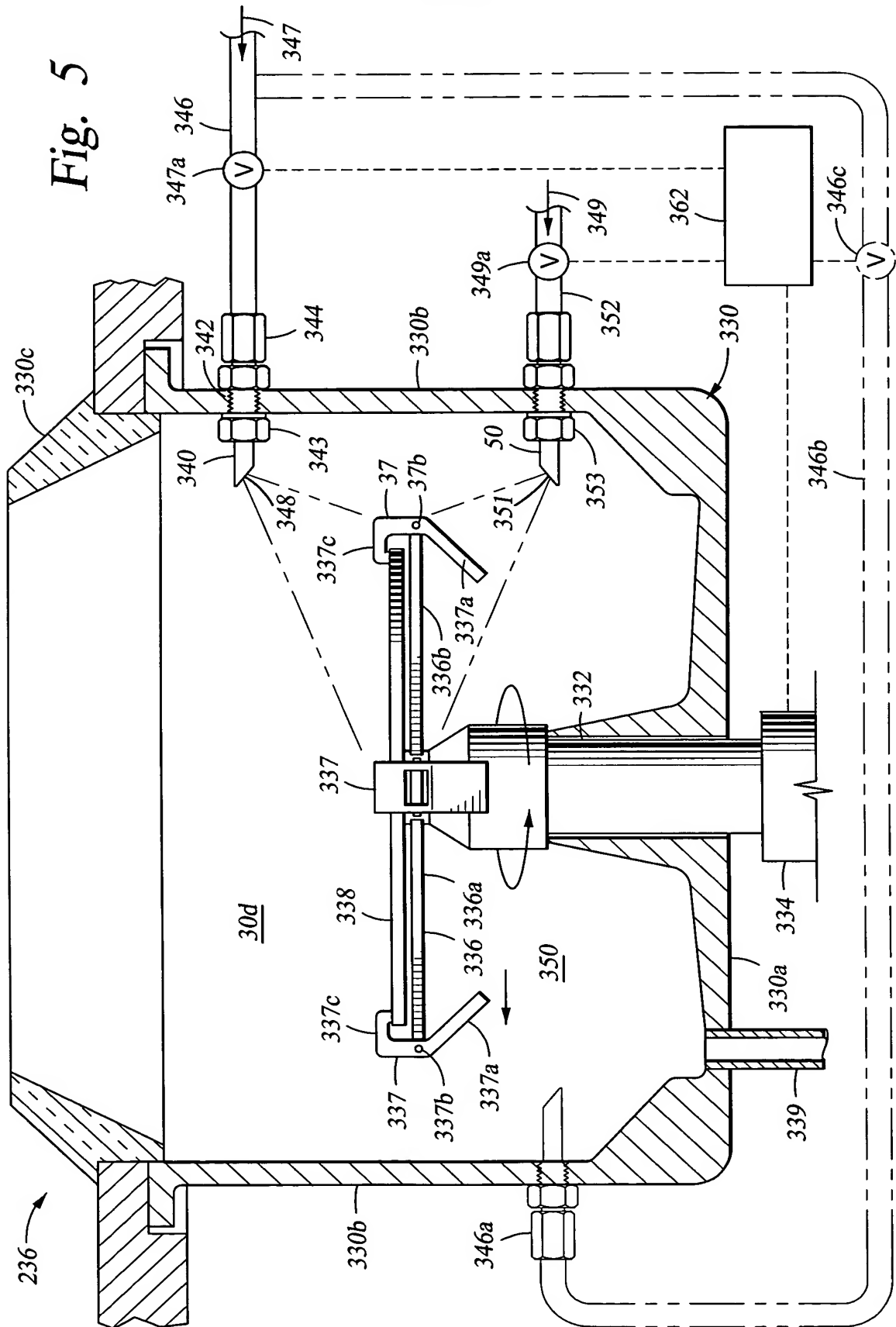
Fig. 3

4/23

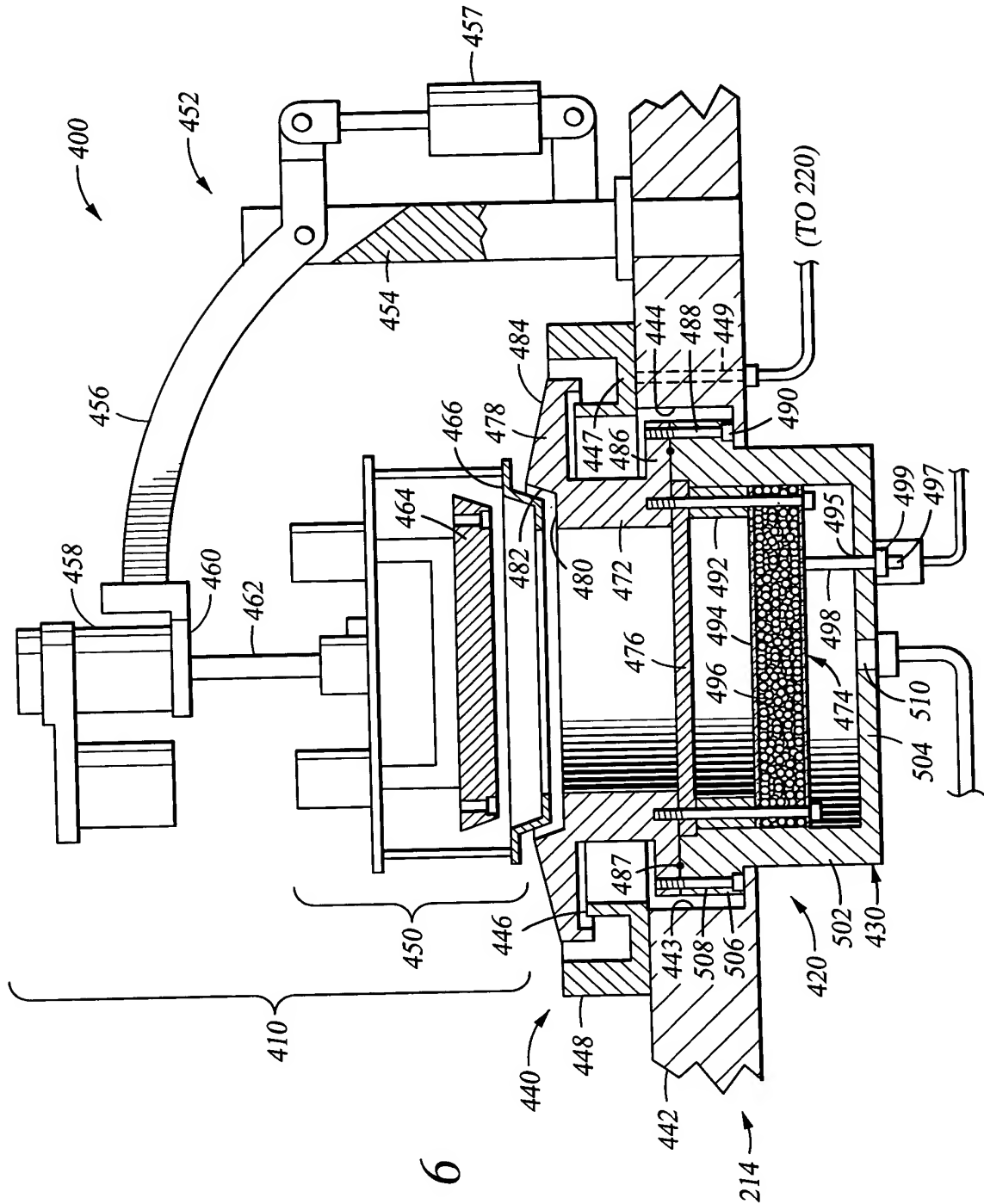


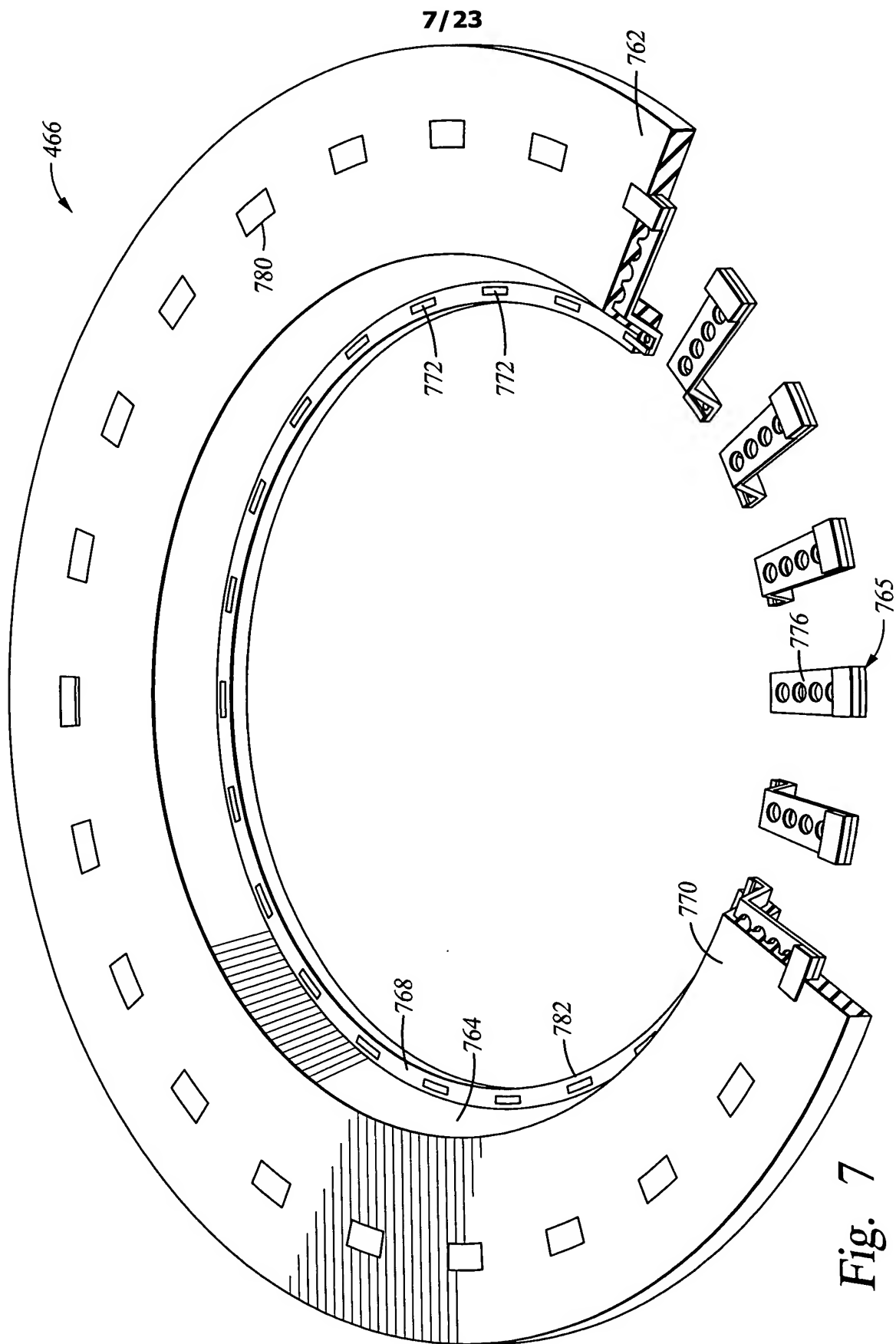
**5/23**

Fig. 5



**6/23**





8/23

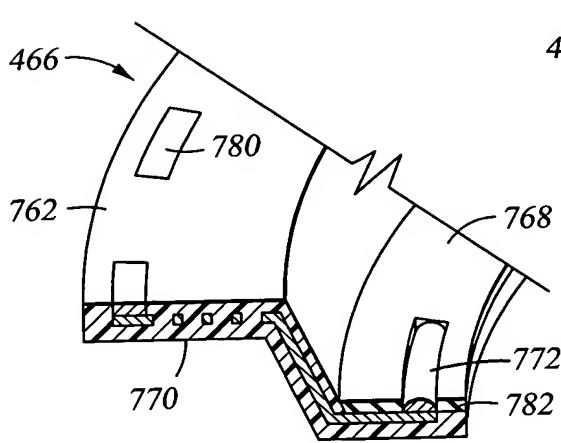


Fig. 8

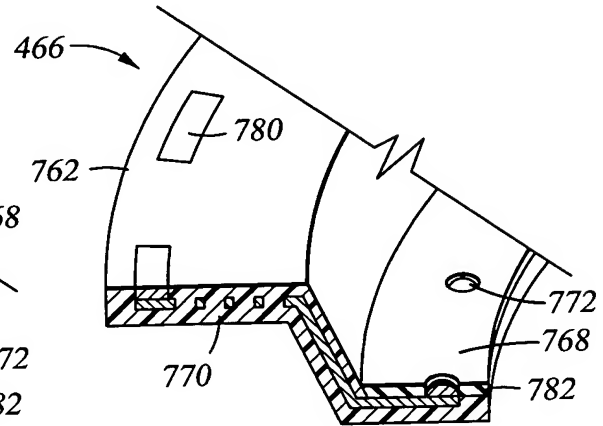


Fig. 9

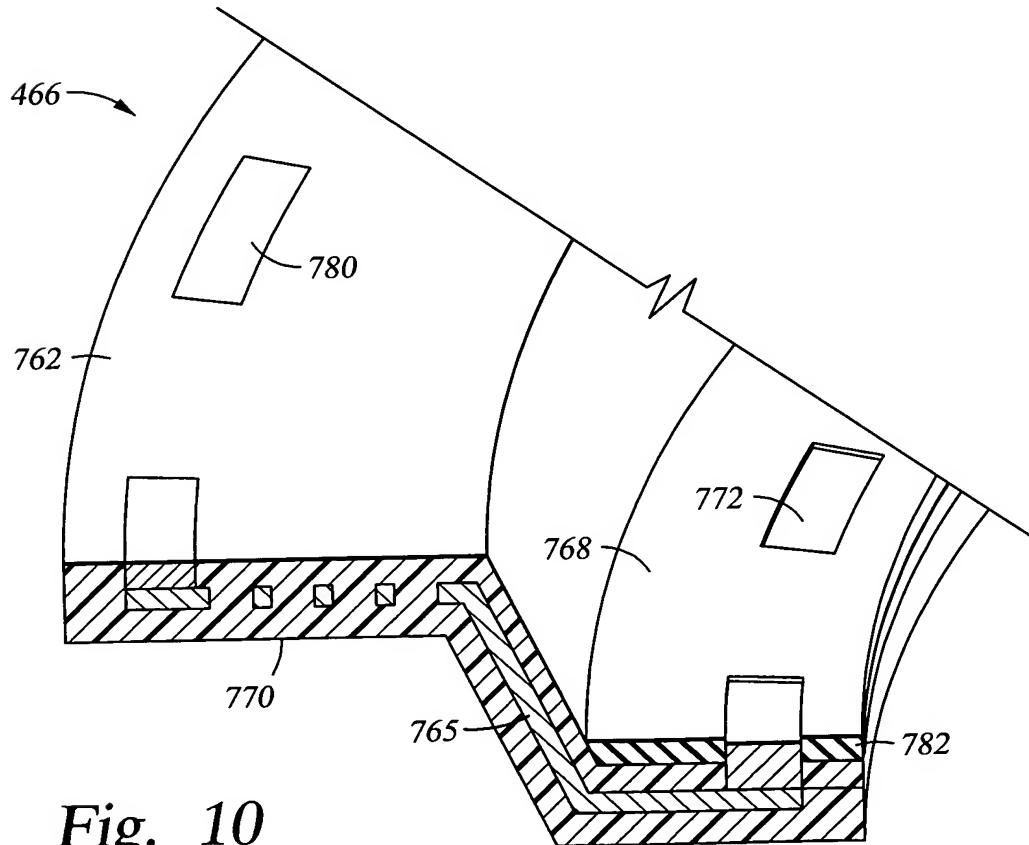


Fig. 10



9/23

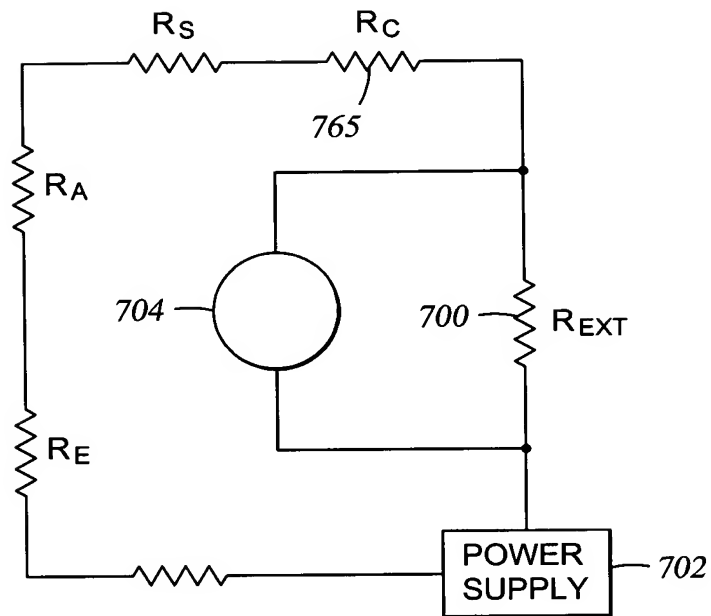


Fig. 11

10/23

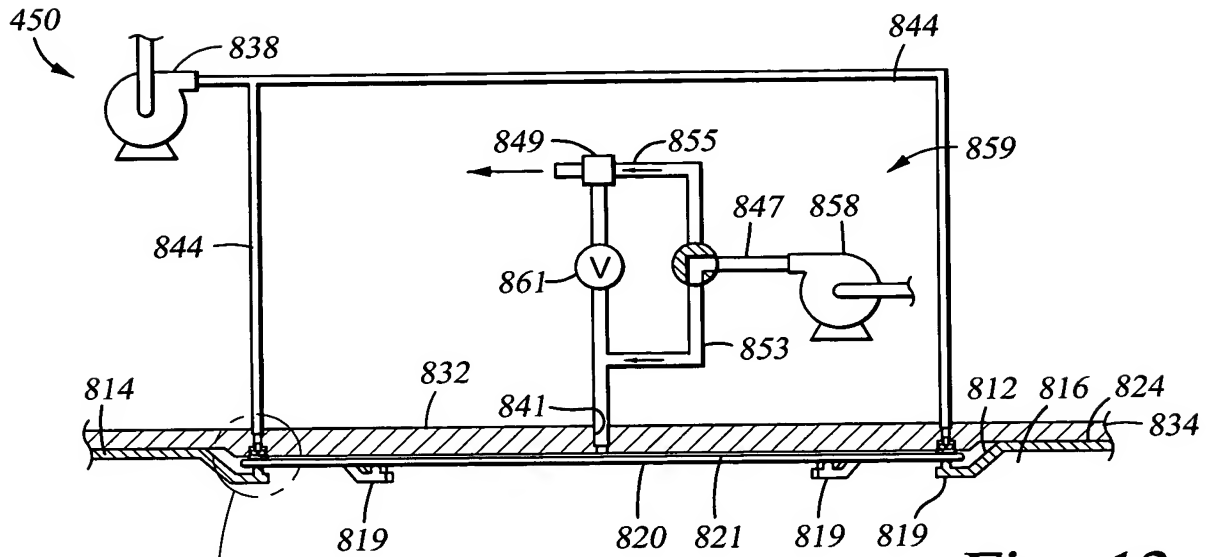


Fig. 12

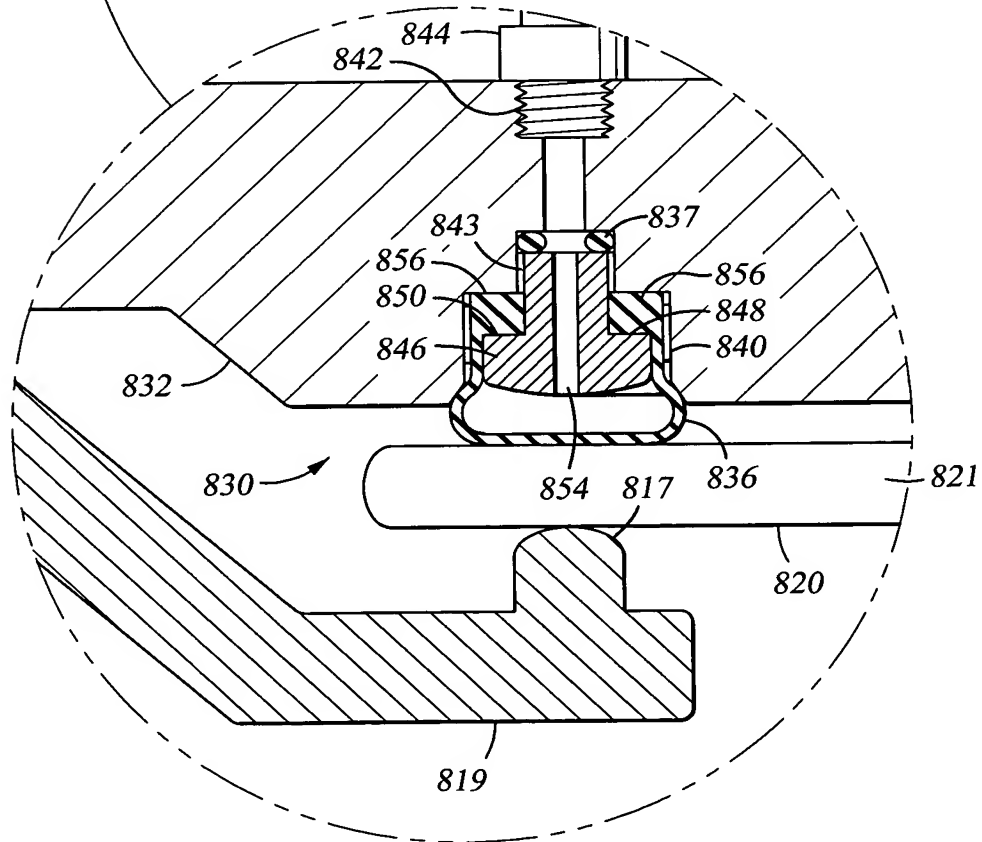
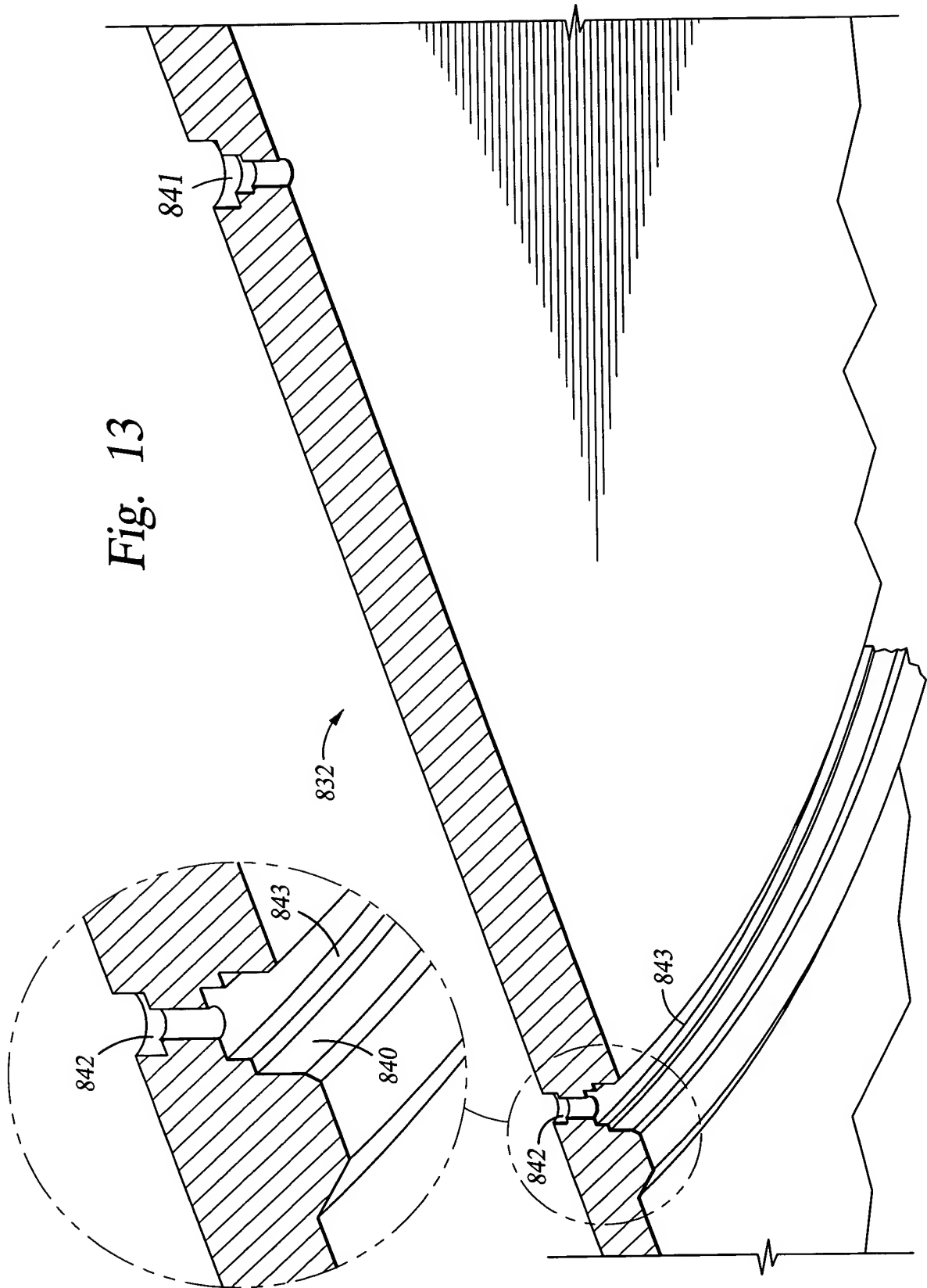


Fig. 12A

11/23



12/23

Fig. 14

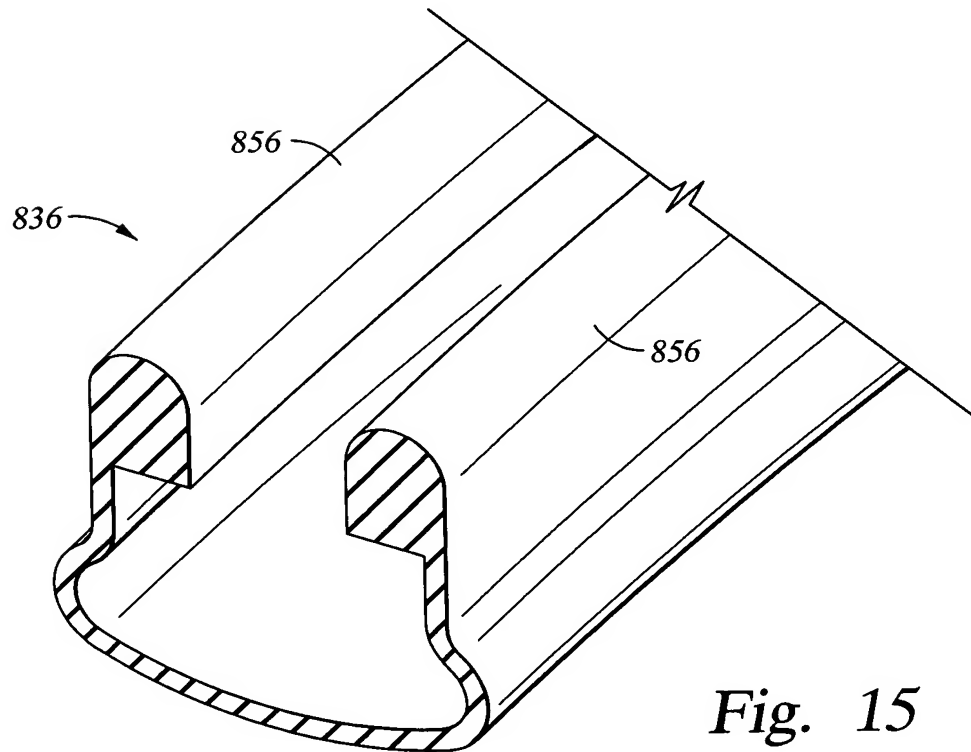
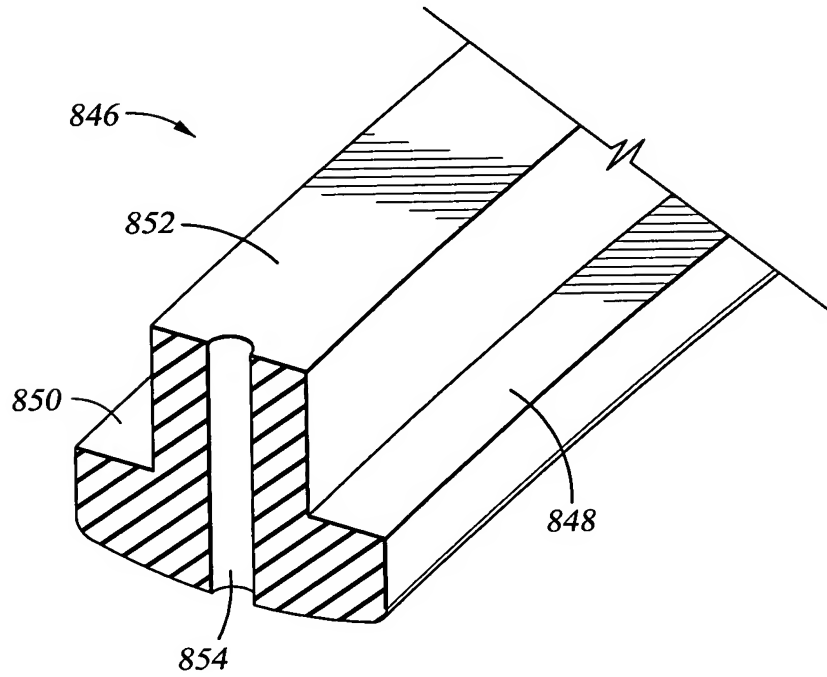


Fig. 15

13/23

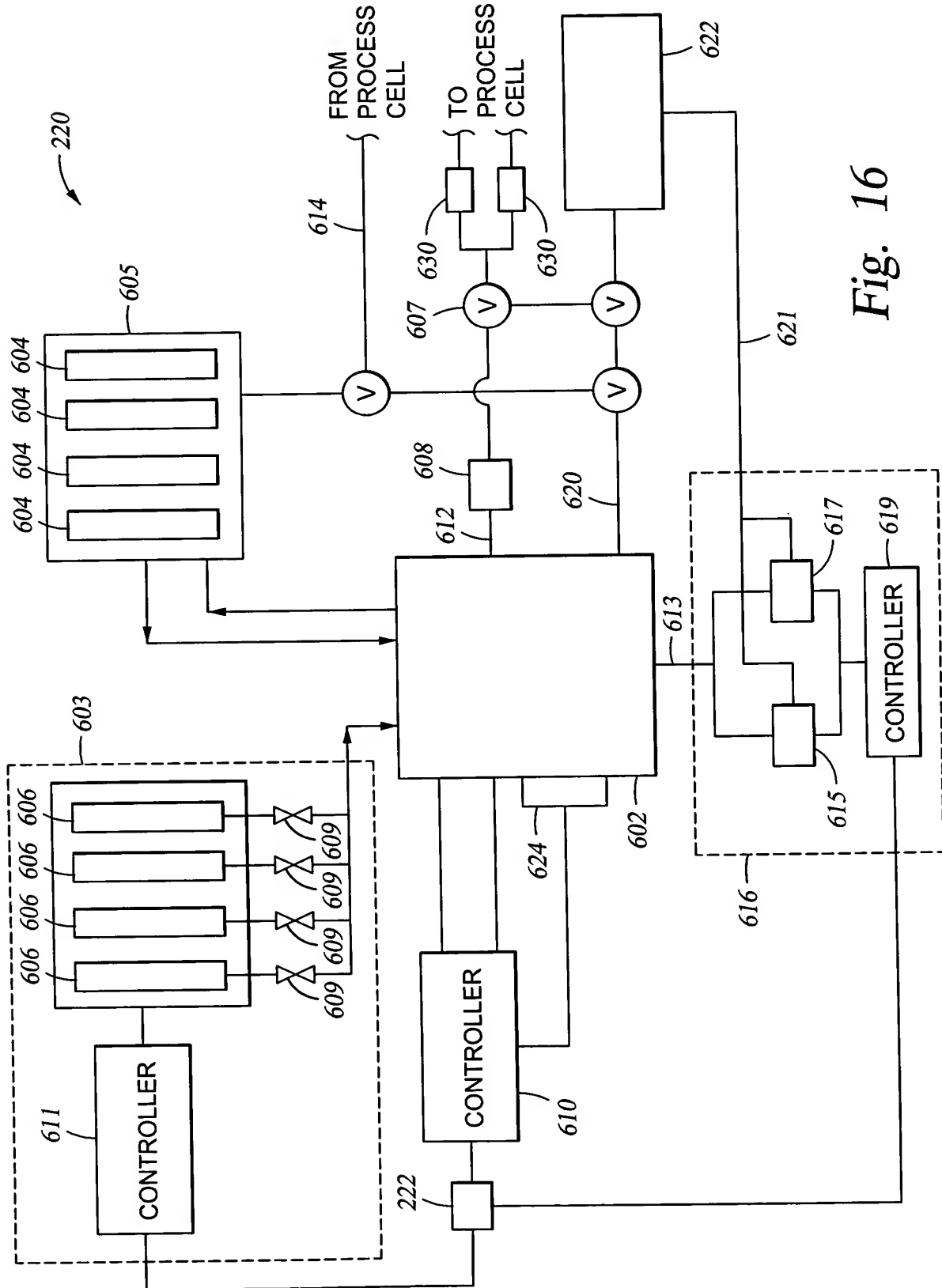
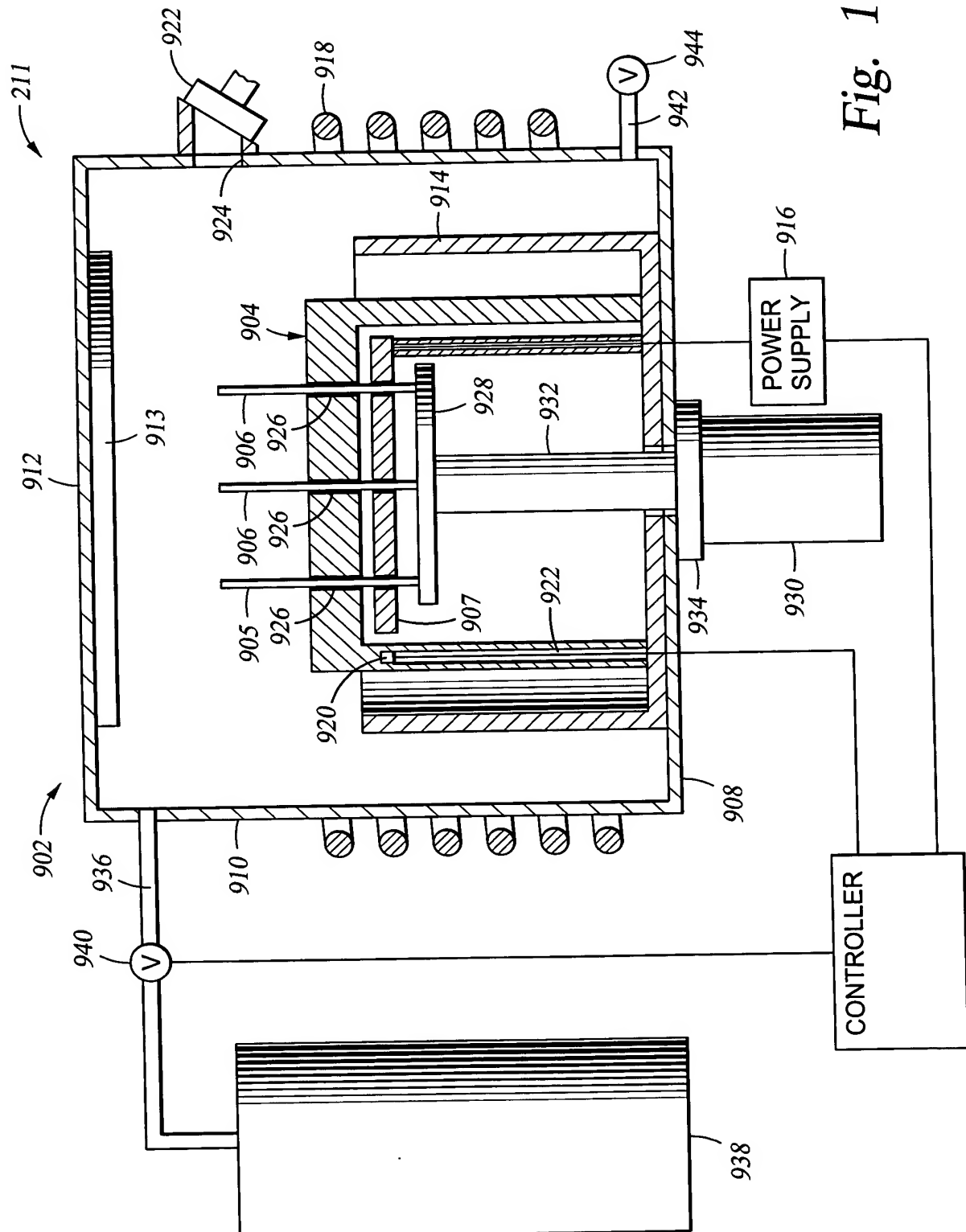


Fig. 16

Fig. 17



15/23

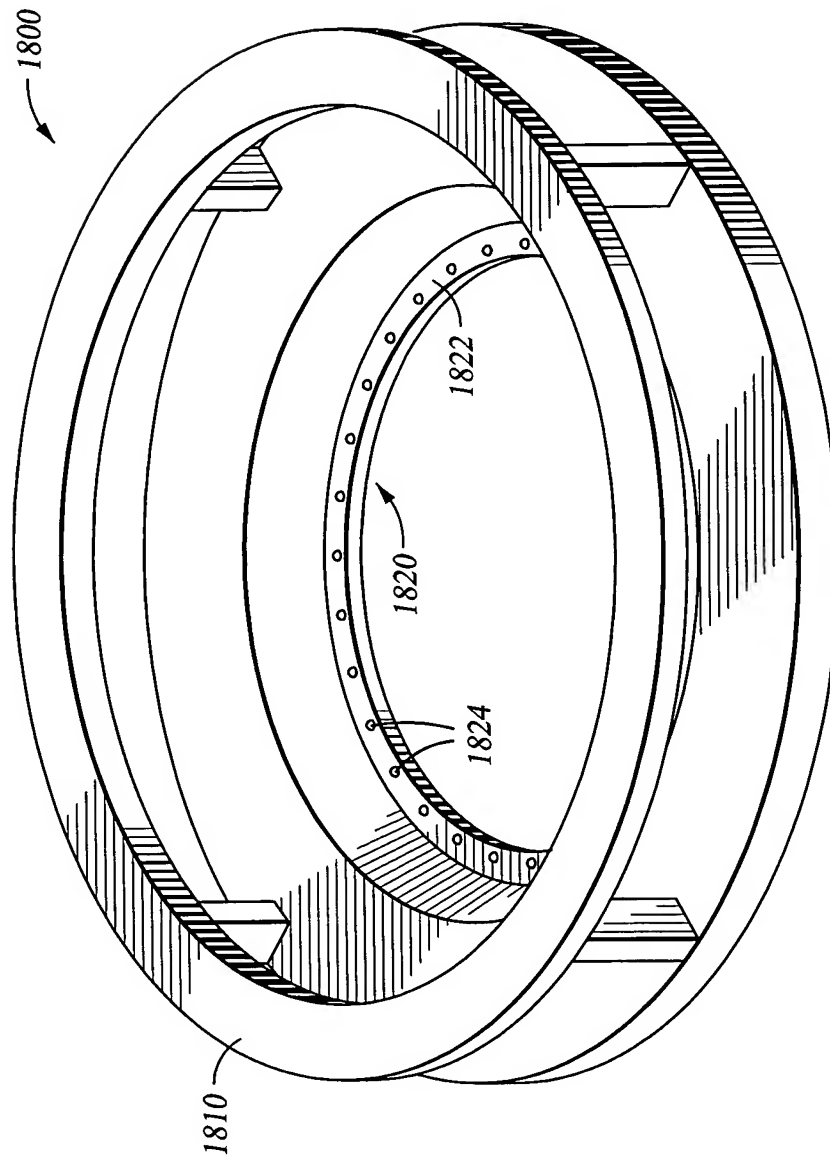
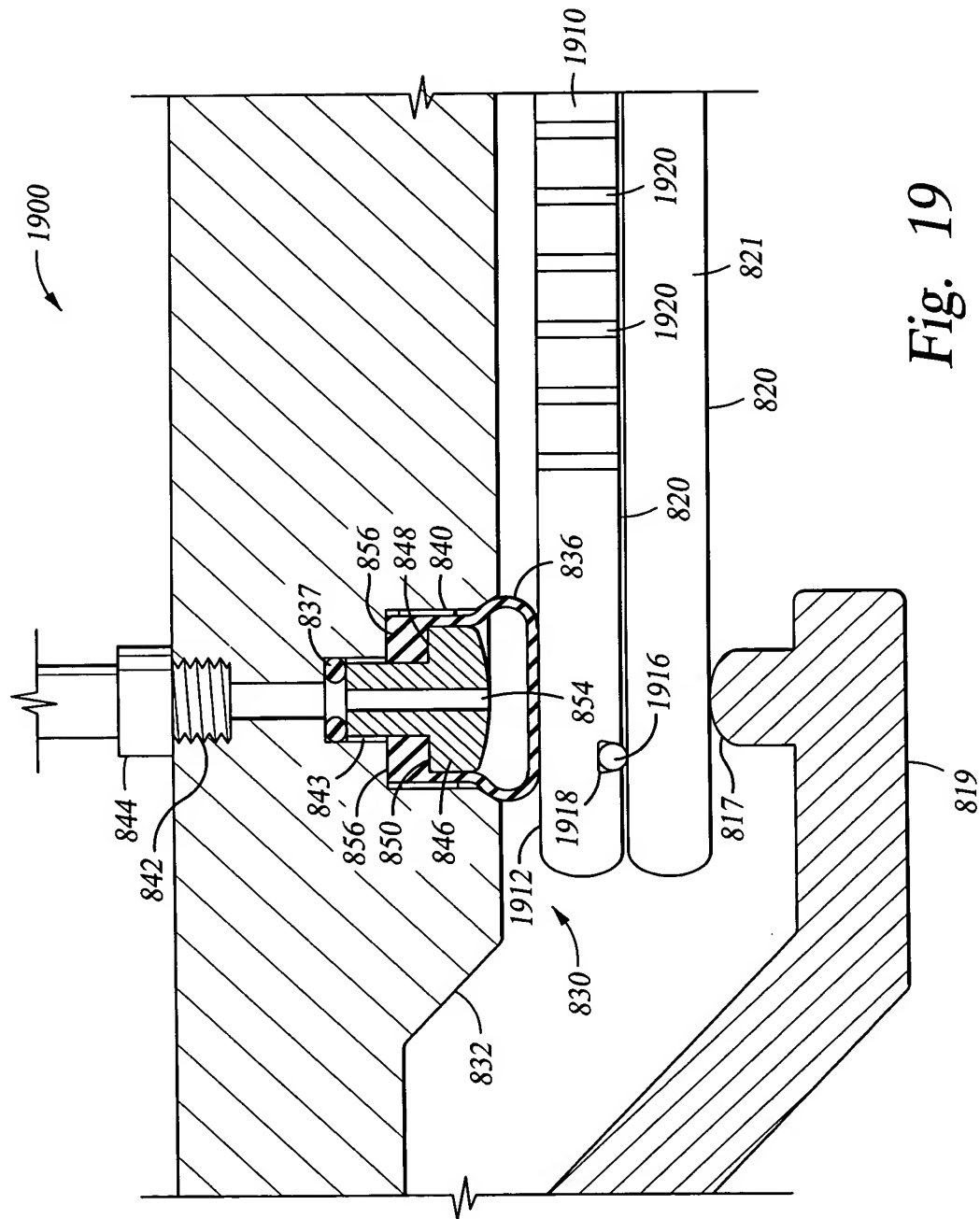


Fig. 18





17/23

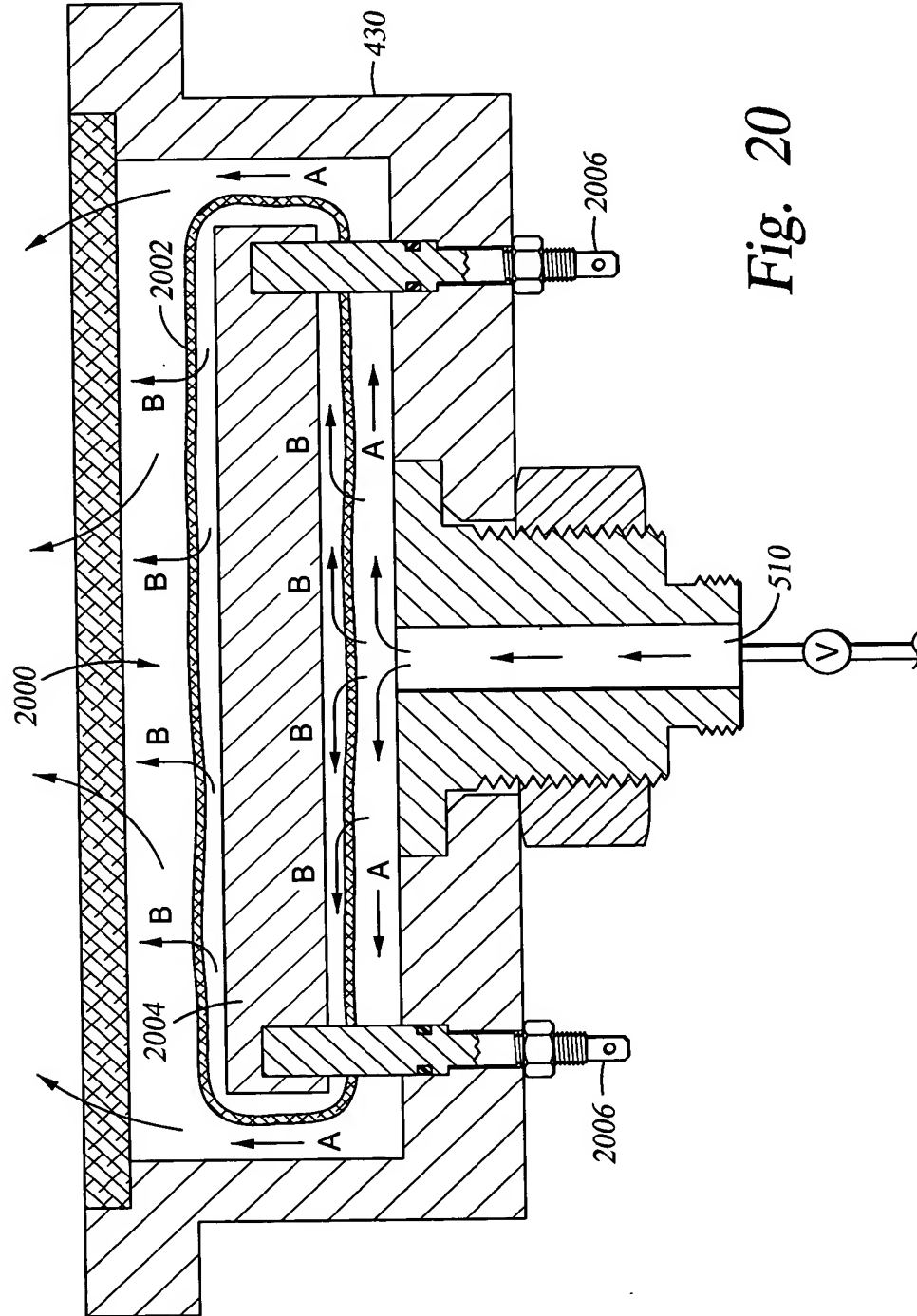


Fig. 20

18/23

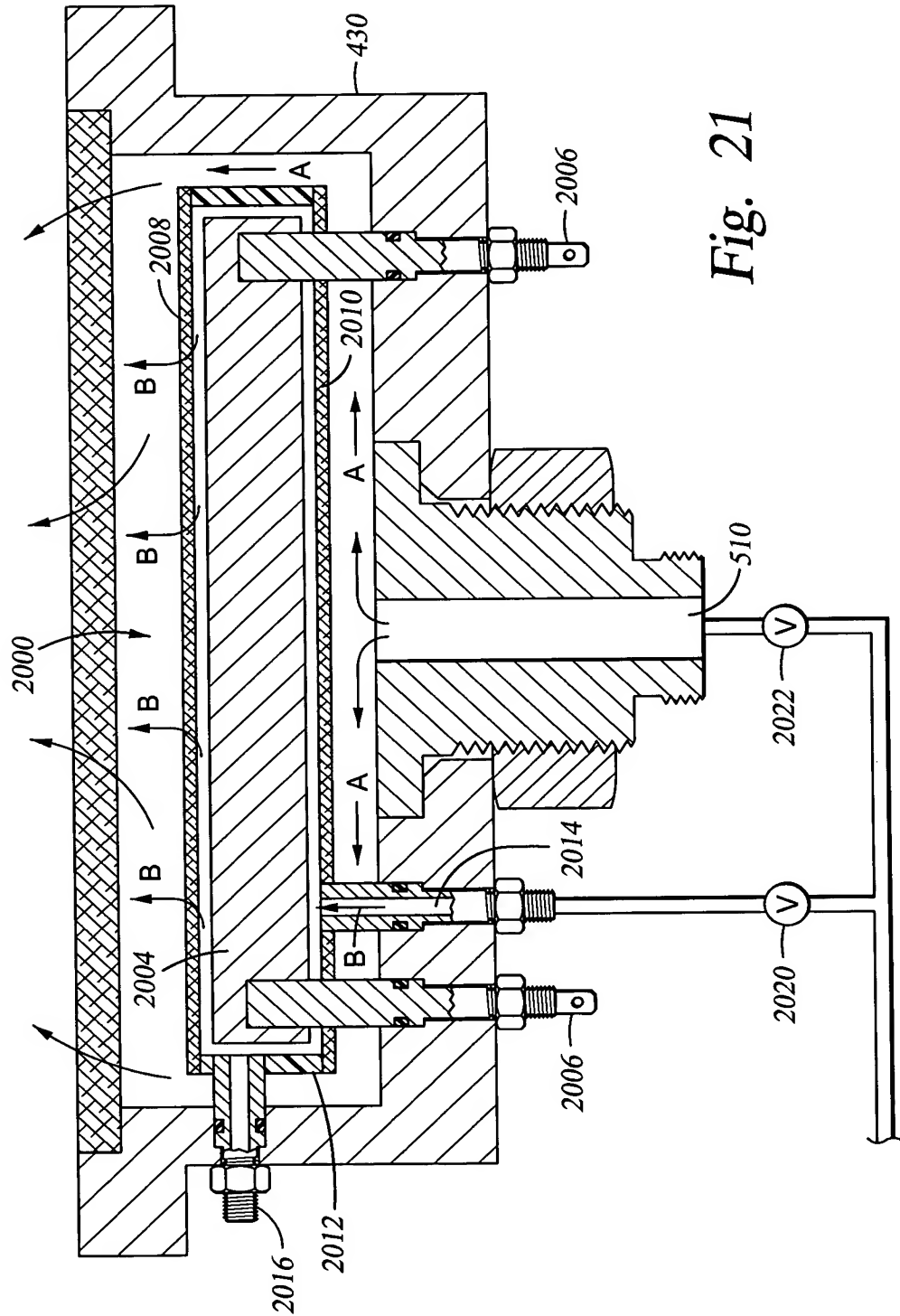


Fig. 21

19/23

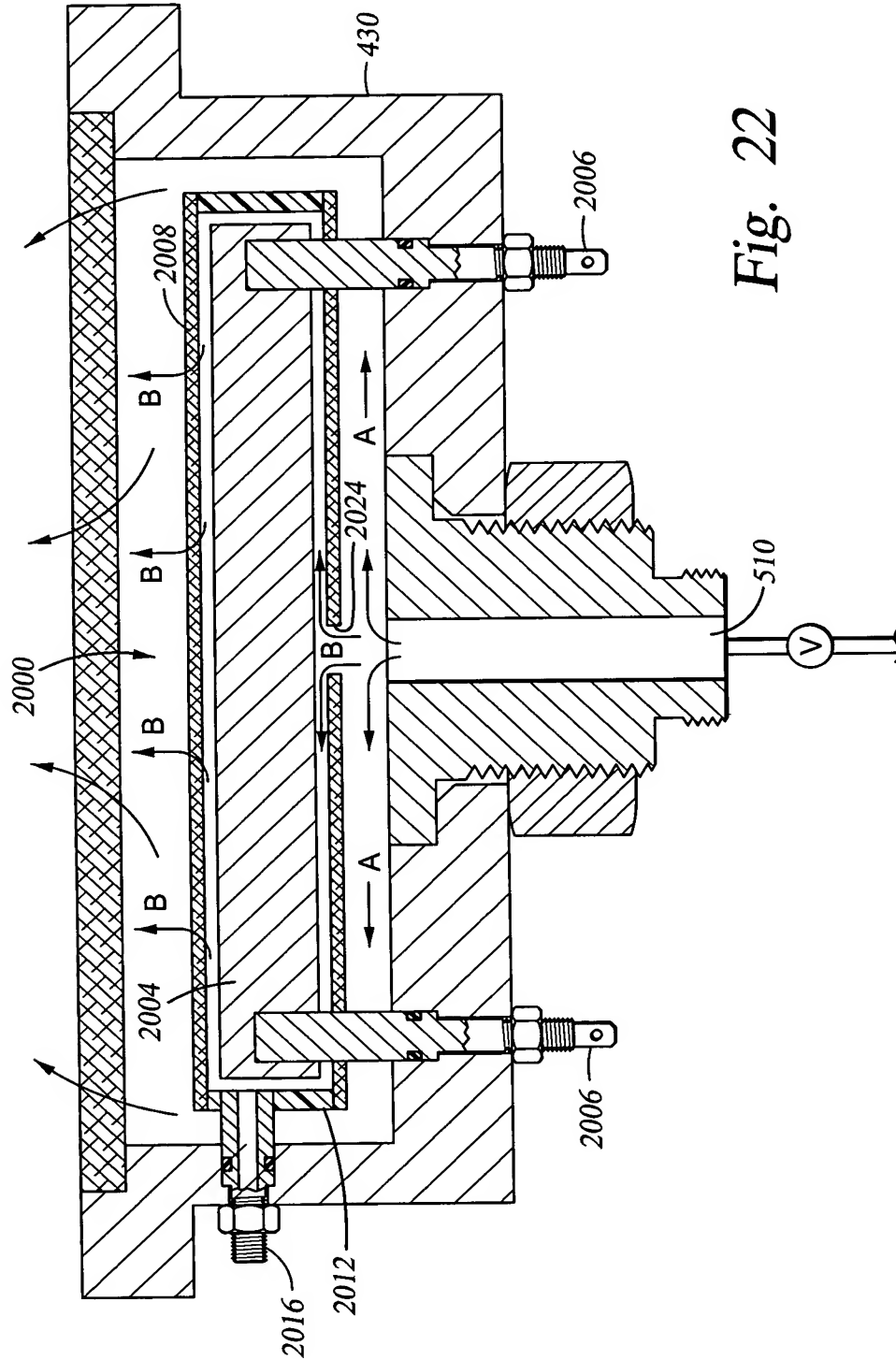
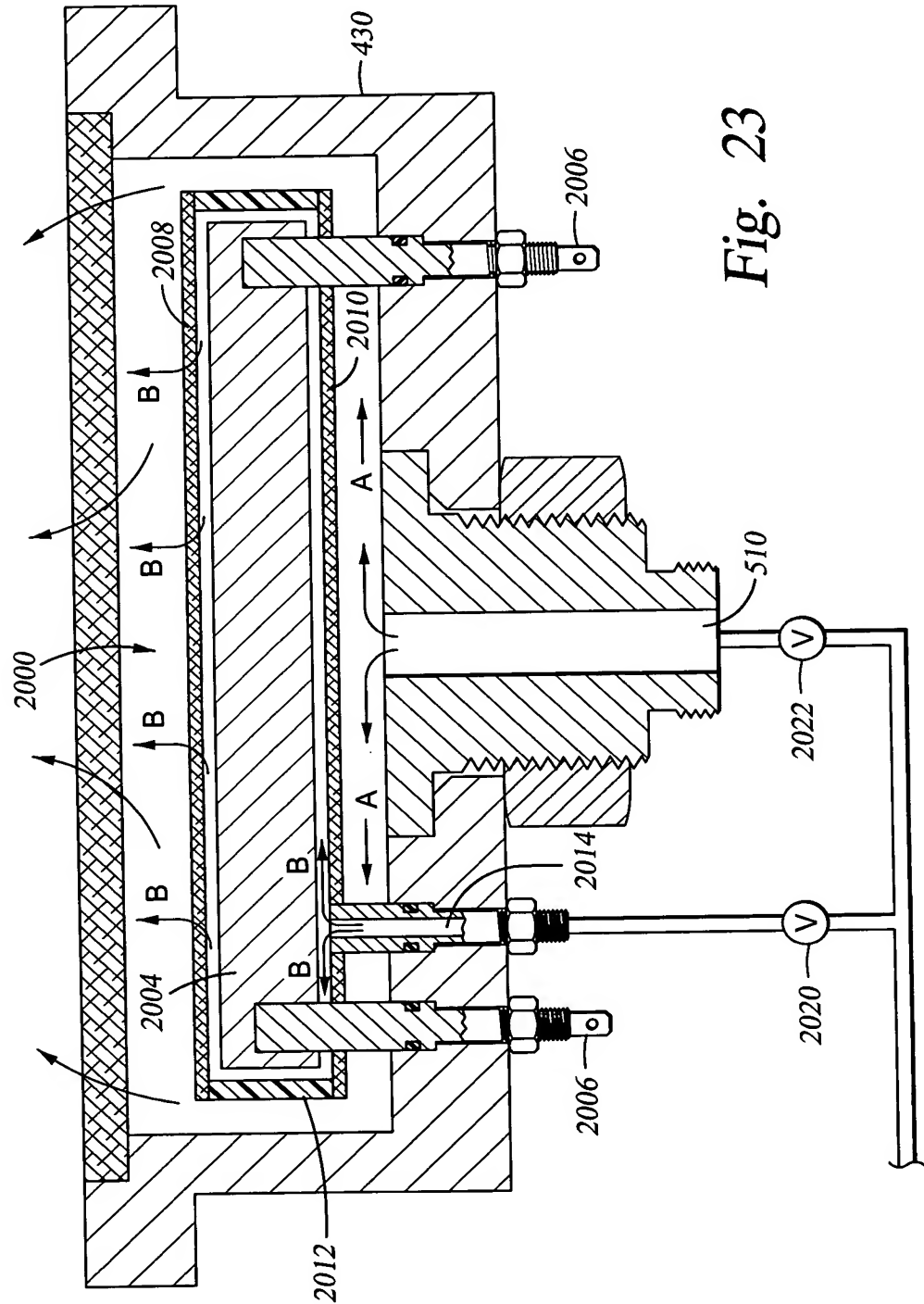


Fig. 22

20/23



21/23

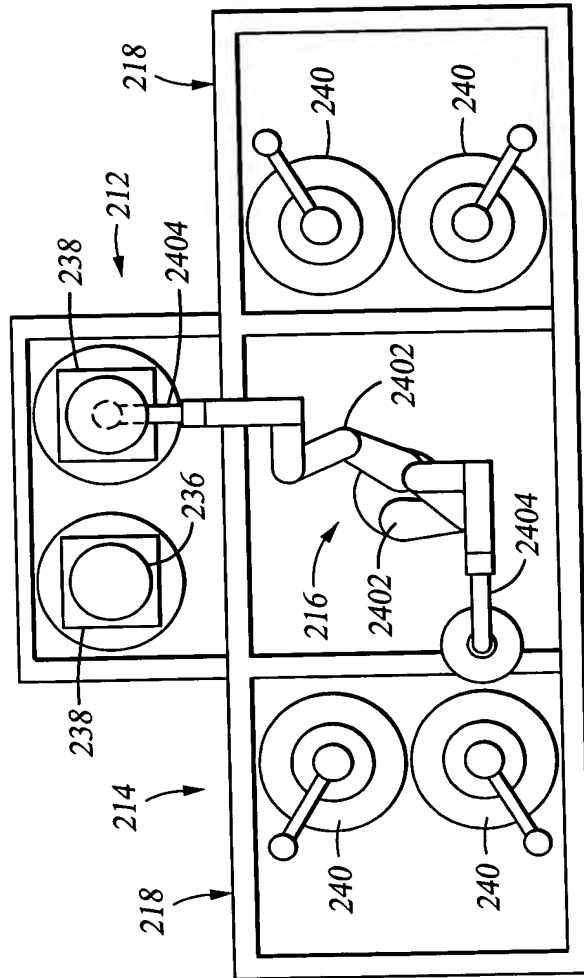
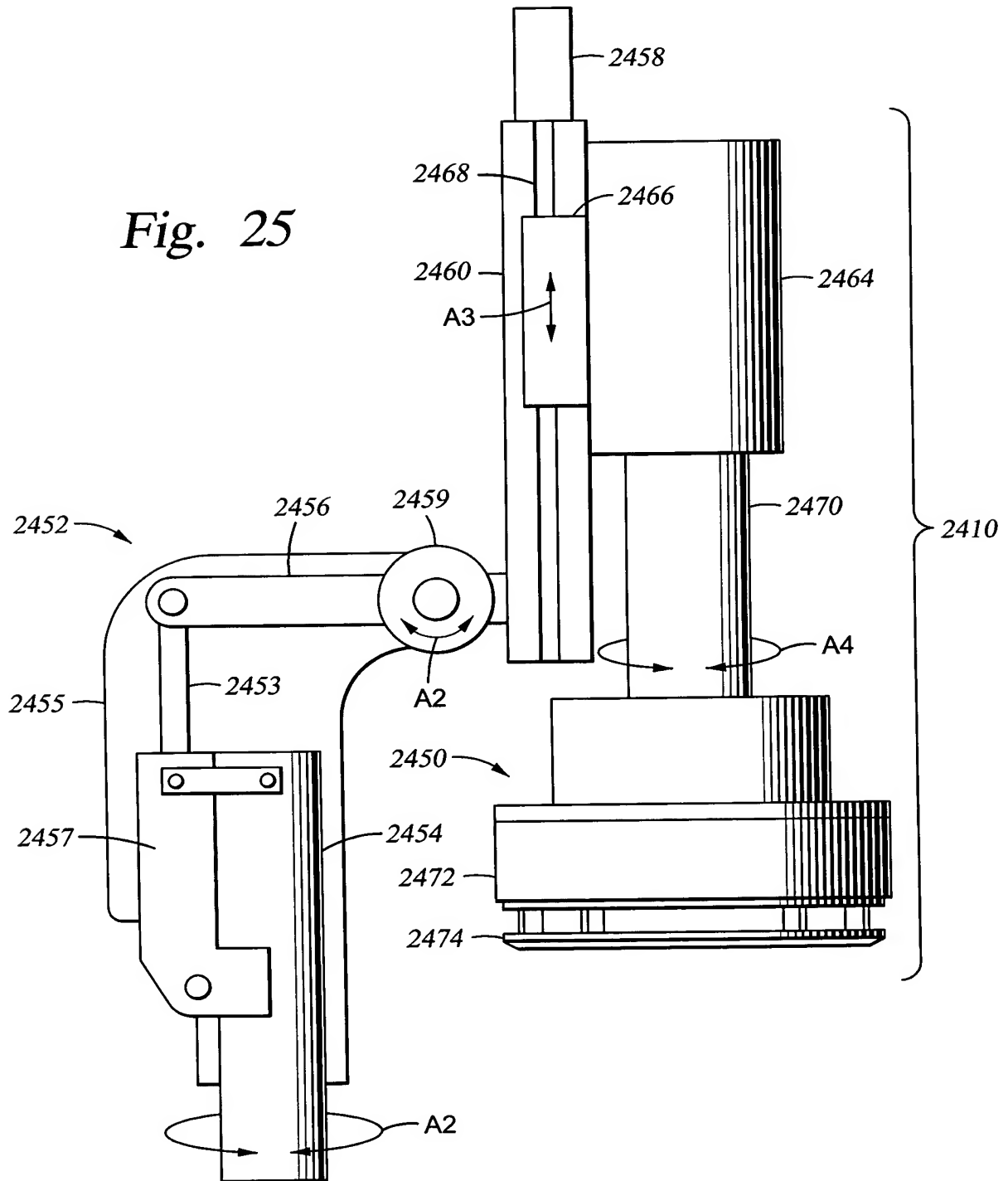


Fig. 24

22/23

Fig. 25



23/23

Fig. 26A

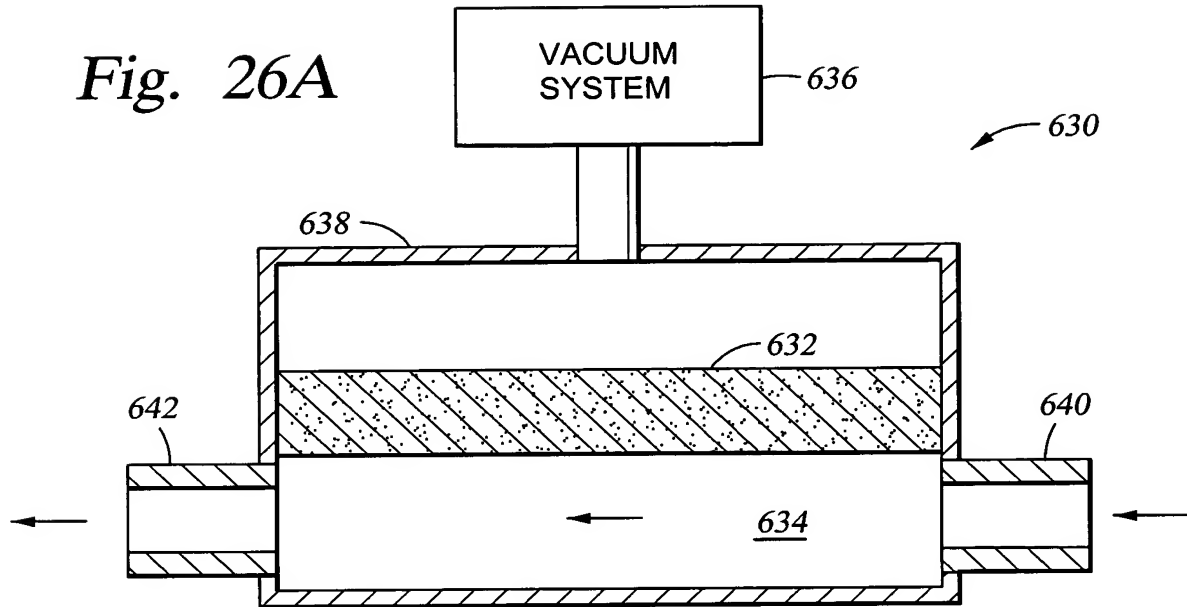


Fig. 26B

